# 基于一种改进 YOLOv5 算法的煤矿泵站视频监控方法

董 昭 <sup>1</sup> 董海峰 <sup>1\*</sup> DONG Zhao DONG Haifeng

# 摘要

当采用目标监测算法对煤矿泵站开展智能监控时,井下生产环境复杂,如光线昏暗、设备相互遮挡等,增大了目标特性提取的难度。基于此,文章提出了一种嵌入注意力机制 YOLOv5(AM-CIoU-YOLOv5)的改进算法。该算法以 YOLOv5 单阶段目标检测框架为基础,将注意力机制模块嵌入骨干网络、FPN和检测头的适当位置,并使用 CIoU 损失函数替代传统的 IoU 损失函数进行边界框回归的优化。从而解决井下复杂环境的异常检测难题。结果表明,AM-CIoU-YOLOv5 算法在平均精度均值(mAP)、召回率(Recall)、准确率(Precision)和  $F_1$  分数上均优于原始的 YOLOv5 算法。

关键词

YOLOv5; 注意力机制; CIoU 损失; 煤矿泵站; 异常分析

doi: 10.3969/j.issn.1672-9528.2025.08.044

#### 0 引言

煤炭是我国重要的能源之一,为实现煤矿井下的安全生产,我国正推广建设基于专业防爆标准摄像头的视频监控系统,以用于井下安全生产管理。在采煤作业的井下设备中,泵站是煤矿安全生产体系中的一项关键设备,承担着排水、供水、输送煤浆等重要的运输任务,因此也是监控系统的重要监控设备。值班人员(地面或地下)通过视频监控摄像头实时地观察被监控的设备,但这种运行方式受限于人员疲劳、警觉性下降和人力资源限制,影响监控系统实时性和有效性。因此,通过引入人工智能的目标检测技术作为解决此类问题的有效方案。

YOLO (you only look once) 是目前常用的一种人工智能的目标检测技术,该算法实质上是将所选中的目标检测任务转化成数学回归问题,在前向传播中输出目标的类别和位置信息,YOLO 系列算法处在一个迭代优化的发展进程中<sup>[1]</sup>。本文采用 YOLOv5 (you only look once version5s)用于煤矿泵站异常检测监控分析,但是在实践中发现,由于矿井下的生产环境极为复杂,在设备密集区域,部分设备可能被其他设备遮挡,导致目标特征难以完整提取;另外光照的剧烈变化会影响图像的对比度和亮度,增加了特征识别的难度,而一些微小的泄漏点或零部件的细微损坏等小目标,很容易被忽略,从而导致检测精度下降<sup>[2]</sup>。因此,为提高 YOLOv5 在煤矿泵站异常分析中的准确性和鲁棒性,本文提出了基于 YOLOv5 改进的 AM-CIoU-YOLOv5 算法。其通

1. 西安石油大学 陕西西安 710000

过注意力机制的嵌入,可以让模型聚焦于关键区域,增强关键特征的提取的同时结合CloU损失函数提高目标定位精度,以适应矿井下的复杂生产环境,更好完成煤矿泵站异常情况的检测任务<sup>[2]</sup>。

#### 1 改进的 YOLOv5 的算法

当前,大多数目标检测算法的平均精准度 mAP 不高,单张图像检测时间又较长。另外,泵站内外布局紧凑,光线较差,且存在大量粉尘和噪声干扰,这就给目标检测带来极大的困难。为此,本论文提出了一种基于 YOLOv5 改进的嵌入注意力机制的 AM-CloU- YOLOv5 改进算法。

AM-CIoU-YOLOv5 算法通过将注意力机制模块嵌入进YOLOv5 骨干网络、FPN 和检测头的适当位置,比如在骨干网络的每个 CSP 模块之后、FPN 的特征融合节点处以及检测头的每个检测分支输入特征上添加,从而提升检测精度和鲁棒性,特别是在处理设备遮挡光线不足和小目标检测问题上表现格外突出 [3]。在模型训练过程中,使用 CIoU 损失函数替代传统的 IoU 损失函数进行边界框回归的优化,使模型的拟合能力得到加强。

#### 1.1 YOLOv5 网络

YOLOv5 主要由输入层、骨干网络(Backbone)特征提取部分、颈部(Neck)特征融合部分以及头分类输出端(Head)组成<sup>[4]</sup>。其中,骨干网络以 CSPDarknet 为核心,将基础层的特征映射划分为两部分,一部分直接传递到下一层,另一部分经过一系列卷积操作后再与直接传递的部分进行拼接。

输入图像在经过骨干网络后,进入由特征金字塔网络(FPN)和路径聚合网络(PAN)组成的颈部结构。特征金字塔网络(FPN)通过上采样操作,将骨干网络输出的深层语义特征与浅层细节特征进行融合。具体来说,对于不同尺度的特征图,先对深层特征图进行上采样,使其尺寸与浅层特征图一致,然后将两者按通道维度进行拼接。而 PAN 则是在 FPN 的基础上,进一步加强了自底向上的路径聚合,通过将融合后的特征再次进行下采样,并与底层特征进行拼接,优化了特征的传递和融合,使得模型对不同大小目标的检测能力得到进一步提升。

检测头结构如图 1 所示,其依据融合后的特征图预设锚框,经卷积操作,预测每一个锚框对应的目标类别概率和边界框的偏移量。而后根据这些预测结果,结合预设的锚框,计算出最终的目标位置和类别,实现对目标的快速检测,最终经过头分类输出端获得检测结果。

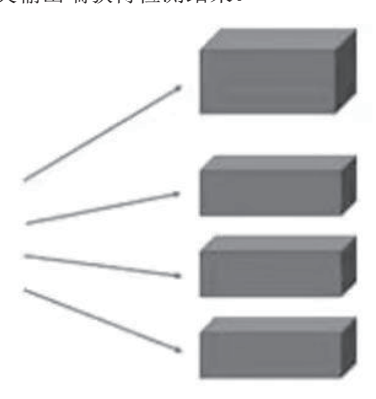


图 1 检测头结构

#### 1.2 注意力机制

注意力机制是模拟人类视觉系统的注意力分配方式,让模型在处理图像时能够自动聚焦于重要区域,忽略无关信息 <sup>[5]</sup>。在煤矿泵站异常检测中,卷积块注意力模块 CBAM(convolutional block attention module)是一种用于增强卷积神经网络性能的混合注意力机制,其结构如图 2 所示。CBAM 包含通道注意力模块(CAM)和空间注意力模块(SAM)两个子模块。

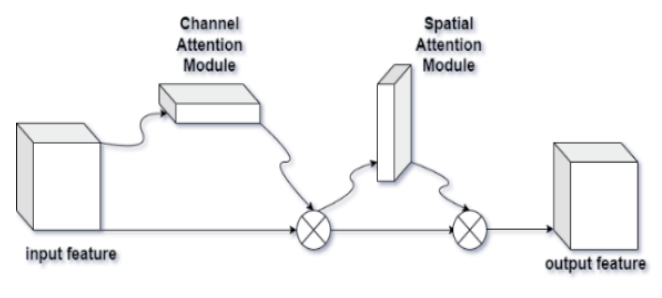


图 2 CBAM 注意力模块

在通道注意力模块中, 主要关注输入图像中有意义的信

息,首先对输入特征图分别进行全局平均池化和全局最大池 化操作,得到两个不同的特征描述。然后,将两个特征描述 分别通过一个包含全连接层的多层感知机(MLP),并进行 ReLU 激活,再将输出结果相加,经过 Sigmoid 激活函数得 到通道注意力权重。

在空间注意力模块中,主要关注的是目标的位置信息,首先对输入特征图在通道维度上进行平均池化和最大池化操作,得到两个一维特征图。再将这两个特征图按通道维度拼接后,通过一个卷积层进行卷积操作,再经过 Sigmoid 激活函数得到空间注意力权重。

最终,将通道注意力权重和空间注意力权重分别与输入 特征图相乘,实现对特征图在通道和空间维度上的加权,有 效地增强了模型对关键特征的提取能力,提高了对遮挡目标 和小目标的检测性能。

# 1.3 CIoU 损失

CIoU 损失是在 IoU 损失的基础上发展而来。IoU 损失仅 考虑了预测框与真实框的重叠面积 <sup>[6]</sup>。而 CIoU 损失进一步 考虑了预测框与真实框的中心点距离、宽高比等因素。

在煤矿泵站异常检测中,CIoU 损失能够更全面地衡量预测框与真实框的匹配程度,使模型在定位煤矿泵站异常目标时能更大程度上提升精确度,减少定位误差。例如,当预测框与真实框的重叠面积相同时,CIoU 损失会考虑两者的中心点距离和宽高比,若中心点距离更近、宽高比更相似,则CIoU 值更大,损失更小,从而引导模型学习到更准确的目标位置和形状信息<sup>[7]</sup>。

#### 1.4 AM-CIoU-YOLOv5

AM-CIoU-YOLOv5 算法是在 YOLOv5 的基础上,将注意力机制模块嵌入骨干网络、FPN 和检测头的适当位置。在骨干网络中的每个 CSP 模块之后添加注意力模块。以卷积块注意力模块 CBAM 为例,其通道注意力模块(CAM)计算过程为:对输入特征图 F 分别进行全局平均池化 AvgPool 和全局最大池化 MaxPool,得到 AvgPool(F)和 MaxPool(F)。两种池化操作从不同角度对特征图进行全局信息提取,平均池化能获取特征图在每个通道上的平均响应,最大池化则突出特征图中每个通道的最强响应。然后,将这两个特征描述分别通过一个包含全连接层的多层感知机 MLP,并进行 ReLU 激活,即 MLP(AvgPool(F))和 MLP(MaxPool(F))。ReLU 激活函数可以有效解决梯度消失问题,增强模型的非线性表达能力。再将输出结果相加,经过 Sigmoid 激活函数得到通道注意力权重,用公式表示为:

 $M_c(F) = \sigma \left( \text{MLP}(\text{AvgPool}(F)) + \text{MLP}(\text{MaxPool}(F)) \right)$  (1)

Sigmoid 函数将相加后的结果映射到 0~1 之间, 作为通 道注意力权重,用于对通道维度的特征进行加权。

空间注意力模块(SAM)先对输入特征图在通道维度上 进行平均池化和最大池化操作,得到两个一维特征图,这两 个一维特征图分别从平均和最大响应的角度反映了特征在空 间维度上的分布情况。将这两个特征图按通道维度拼接后, 通过一个卷积层 Conv 进行卷积操作, 再经过 Sigmoid 激活 函数得到空间注意力权重,用公式表示为:

$$M_s(F) = \sigma(\text{Conv}([\text{AvgPool}(F)_s; \text{MaxPool}(F)_s]))$$
 (2)

卷积操作可以进一步提取拼接后特征图的空间特征, Sigmoid 函数则将卷积结果转化为空间注意力权重。最终, 将通道注意力权重和空间注意力权重分别与输入特征图相 乘,用公式表示为:

$$F_{\text{new}} = M_c(F) \times M_s(F) \tag{3}$$

对骨干网络提取的特征进行二次筛选,突出与异常检测 相关的关键特征,增强模型对复杂背景下目标特征的提取能 力[8]。

在 FPN 的特征融合节点处添加注意力模块,同样采用上 述 CBAM 模块的计算方式,对不同尺度特征融合时的信息传 递进行优化。在特征融合过程中,不同尺度的特征图包含了 不同层次的语义信息和细节信息,通过注意力机制可以根据 当前任务需求, 动态地分配不同尺度特征的权重。例如, 对 于检测小目标,可能更需要突出浅层特征图中的细节信息, 注意力机制就会给浅层特征分配更高的权重; 而对于检测大 目标,深层特征图中的语义信息更为关键,注意力机制则会 相应地提升深层特征的权重,从而提高融合特征的质量,提 升对大小形状不一的异常目标的检测性能[9]。

在检测头的每个检测分支输入特征上应用注意力模块, 通过注意力机制计算权重, 使检测头更加关注与目标相关 的特征,减少背景干扰,从而达到提升判断目标类别和回 归边界框的准确性。在计算预测框与真实框的匹配程度时, 采用 CIoU 损失函数。CIoU 损失函数在 IoU 损失基础上, 进一步考虑了预测框与真实框的中心点距离  $(\rho^2)$ 、宽高比 (v)等因素 [10]。 IoU 损失计算公式为:

$$IoU = \frac{|B \cap B^{gt}|}{|B \cup B^{gt}|} \tag{4}$$

式中: B 是预测框;  $B^{gt}$  是真实框;  $|\cdot|$  是框的面积。

CIoU 损失计算公式为:

$$CIOU = IoU - \frac{\rho^2}{c^2} - \alpha v \tag{5}$$

式中:  $\rho$  是预测框与真实框中心点的欧氏距离; c 是能同时包 含预测框和真实框的最小闭包区域的对角线距离: v 则是用 来衡量预测框与真实框宽高比的相似性, 计算公式为:

$$v = \frac{4}{\pi^2} \left( \tan^{-1} \frac{\omega^{\text{gt}}}{h^{\text{gt}}} - \tan^{-1} \frac{\omega}{h} \right)^2$$
 (6)

式中: α是平衡参数,用于调整宽高比的影响,计算公式为:

$$\alpha = \frac{v}{(1 - IoU) + v} \tag{7}$$

在模型训练过程中, 当预测框与真实框的重叠面积相同 时, CloU 损失会考虑两者的中心点距离和宽高比, 若中心点 距离更近、宽高比更相似,则 CIoU 值更大,损失更小,从 而引导模型学习到精确度更高的目标位置信息,进一步提升 模型在复杂环境下的检测性能[11]。例如,在煤矿泵站异常检 测中,对于一个管道泄漏的小目标检测,CloU 损失函数可以 使模型更准确地定位泄漏点的位置, 避免因定位偏差而导致 误判或漏判。

#### 2 实验与结果分析

# 2.1 实验环境

本文所采用的实验环境如下:

操作系统: Ubuntu 20.04

处理器: 12 vCPU Intel(R) Xeon(R) Silver 4214R CPU @

#### 2.40 GHz

GPU: RTX 3080 Ti(12 GB)

深度学习框架: PvTorch1.13.1

开发平台: PyCharm Python3.9

实验数据集来源于多个煤矿泵站的实际监控视频, 经过仔细筛选和人工标注,共获得10000张图像。按照 70%、15%、15%的比例将其划分为训练集、验证集和测 试集,以保证模型在不同数据集上的泛化能力和性能评估 的准确性。

# 2.2 评价指标

采用召回率(Recall)、准确率(Precision)、F<sub>1</sub>分数值 和平均精度均值(mAP)为评价指标。mAP用于衡量模型在 不同 IoU 阈值下对所有类别平均精度的平均值,综合反映模 型在不同重叠度要求下对各类目标的检测性能; Recall 体现 模型正确检测出的正样本数量占实际正样本数量的比例,反 映模型对正样本的覆盖能力; Precision 表示模型预测为正样 本且实际为正样本的数量占模型预测为正样本数量的比例, 体现模型预测结果的准确性;  $F_1$  分数则综合考虑了 Recall 和 Precision, 是两者的调和平均数, 更全面地评估模型在检测 准确性和覆盖能力之间的平衡。

# 2.3 实验结果分析

将改进后的 AM-CIoU-YOLOv5 算法与原始 YOLOv5 算法进行对比实验,结果如表 1 所示。

表 1 测试结果对比表

算法	mAP@0.5	mAP@0.5:0.95	Recall	Precision	F <sub>1</sub> Score
YOLOv5	0.70	0.45	0.75	0.72	0.73
AM-CIoU-	0.82	0.55	0.85	0.80	0.82
YOLOv5					

改进后的 AM-CIoU-YOLOv5 算法在各项指标上均优于原始 YOLOv5 算法。mAP@0.5 提升了 12 个百分点,mAP@0.5:0.95 提升了 10 个百分点,表明在不同 IoU 阈值下,改进算法的检测性能都有显著提高,能够更准确地检测出各类异常目标。Recall 提升了 10 个百分点,说明改进算法能够更好地检测出所有异常情况,减少漏检; Precision 提升了 8个百分点,意味着模型预测的准确性更高,减少了误检; F<sub>1</sub>分数提升了 9个百分点,综合性能得到明显提升。这主要得益于注意力机制增强了模型对关键特征的提取能力,使模型能够更准确地识别异常目标; CIoU 损失函数提高了目标定位精度,使模型在定位异常目标时更加准确,从而提升了整体检测性能。

# 3 结语

本文提出的基于 YOLOv5 改进的 AM-CIoU-YOLOv5 算法在煤矿泵站视频监控的异常分析中取得了良好效果。通过注意力机制和 CIoU 损失函数的引入,有效解决了煤矿泵站复杂环境下的目标遮挡、小目标检测和定位精度低等问题,进一步将模型的检测精度和鲁棒性提升了一个台阶。实验结果表明,改进后的算法在各项评价指标上均优于原始YOLOv5 算法,为煤矿泵站的安全运行和智能化管理提供了有力的技术支持。

未来的研究可以进一步探索更高效的注意力机制,如结合自注意力机制或动态注意力机制,以更好地适应复杂多变的煤矿泵站环境。同时,深入研究损失函数的优化,探索更适合煤矿泵站异常检测的损失函数形式。此外,结合多模态数据(如声音、振动等)进行异常检测,并充分利用图像、文本、音频等不同模态数据所蕴含的互补信息,有望进一步提升模型的性能和泛化能力,更好地满足煤矿安全生产的实际需求。

### 参考文献:

[1] 王鑫杰, 王吉平. YOLO 目标检测算法综述 [J]. 广西物

理,2024,45(2):50-53.

- [2] 芦碧波, 周允, 李小军, 等. 融合注意力机制的 YOLOv5 轻量化煤矿井下人员检测算法 [J]. 煤炭技术,2023,42 (10):200-203.
- [3] 张炳建, 郝洪涛, 刘秀娟, 等. 基于改进 YOLOv5s 的煤矿 输送带异物检测算法 [J]. 宁夏工程技术,2024,23(2): 174-179
- [4] 胡继港, 杨杰, 祝晓轩. 一种基于 YOLOv5 的家用物体检测优化算法 [J]. 青岛大学学报 (工程技术版),2023, 38(2): 26-30.
- [5] 王建才,李瑾,李志军,等.基于改进 YOLOv5 的煤岩图 像检测识别研究 [J]. 煤矿机械,2022,43(9):204-208.
- [6] 孟晴, 金钧. 基于 YOLOv5 的无人机小目标检测改进算法 [J]. 自动化与仪表, 2025, 40(1):77-81.
- [7] 肖名志,孙阅婷,冯振辉,等.嵌入注意力机制的 YOLOv3 改进算法用于家禽部位的目标检测 [J]. 南昌工程学院学报,2024,43(6):51-59.
- [8] 王媛彬, 韦思雄, 吴华英, 等. 基于改进 YOLOv5s 的矿井 下安全帽佩戴检测算法 [J]. 煤炭科学技术, 2025, 53(S1): 366-377.
- [9] 郝帅,张旭,马旭,等.基于 CBAM-YOLOv5 的煤矿输送 带异物检测 [J]. 煤炭学报,2022,47(11):4147-4156.
- [10] 魏振强, 马永刚, 曹欣宜. 基于改进 YOLOv5 的石化设备 目标检测算法技术研究 [J]. 中国安全生产科学技术, 2025, 21(1): 139-145.
- [11] 徐鸿盛, 胡学友, 黄迎辉, 等. 基于改进 YOLOv5 的道路场景小目标检测方法 [J]. 商丘师范学院学报,2024,40 (12): 14-19.

# 【作者简介】

董昭(1998—), 男, 陕西渭南人, 硕士研究生, 研究方向: 机器学习, email: shidene 2021@qq.com。

董海峰(1965—),通信作者(email: donghaifeng@xsyu.edu.cn),男,吉林长春人,博士,副教授,研究方向:人工智能、大数据、数据挖掘。

(收稿日期: 2025-02-15 修回日期: 2025-07-10)